

# Q形变的非简谐振子广义相干态\*

徐子駉

(北京机械工业学院基础部 北京 100085)

**摘要** 利用变换算符导出了 $Q$ 形变的非简谐振子代数,由此得到 $Q$ 形变的非简谐振子广义相干态。这些状态具有过完备性,是 $Q$ 形变的自然算符的极小测不准状态。在主压缩区间中偶相干态的相对压缩率随形变程度的增大而增大。

**关键词** 非简谐振子  $Q$ 形变 广义相干态

## 1 引言

近年来,李代数和李群的量子形变引起了人们的普遍兴趣<sup>[1,2]</sup>。作为物理理论中的一个基本模型,简谐振子代数的 $Q$ 形变已经得到了较广泛的研究<sup>[3—5]</sup>。S. Codiansky发现 $Q$ 形变的简谐振子相干态具有一些新的重要物理性质<sup>[6]</sup>。本文的目的是把这方面的研究推广到非简谐振子模型中。

按文献[7],非简谐振子哈密顿算符的无量纲形式为

$$H = -\frac{1}{2} \frac{d^2}{dx^2} + \frac{1}{2} x^2 + \frac{A}{2x^2}, \quad A > 0 \quad (1)$$

与之对应的湮没和产生算符 $b_-$ 和 $b_+$ 为<sup>[8]</sup>

$$b_{\pm} = \frac{1}{2} (X \mp iP), \quad (2)$$

式中 $X$ 和 $P$ 分别为非简谐振子势场中粒子的自然坐标算符和自然动量算符。其明显的形式如下:

$$\begin{aligned} X &= x^2 - H, \\ P &= \frac{1}{2i} \left( x \frac{d}{dx} + \frac{d}{dx} x \right). \end{aligned} \quad (3)$$

由公式(1)—(3)不难推出

1998-04-20收稿

\* 北京机械工业学院科研基金资助课题

$$\begin{aligned}[H, b_{\pm}] &= \pm 2b_{\pm}, \\ [b_{-}, b_{+}] &= H.\end{aligned}\quad (4)$$

公式(4)构成了非简谐振子的谱生成代数,是本文研究的出发点。在第2节中,构造出Q形变的非简谐振子代数;第3节中引入非简谐振子广义相干态的Q形变;第4节是非简谐振子广义相干态Q形变后的过完备性关系的研究;第5节讨论了该形变的广义相干态的一些性质;第6节分析了Q形变广义相干态的叠加态的非经典性质及其与形变参数的关系;最后给出了一个简明的总结。

## 2 非简谐振子代数的Q形变

为了得到非简谐振子代数Q形变的适当形式,先来回顾一下简谐振子代数的Q形变过程。已知简谐振子代数由粒子数算符N和产生、湮没算符 $a_{\pm}$ 生成,其对易关系为

$$\begin{aligned}[N, a_{\pm}] &= \pm a_{\pm}, \\ [a_{-}, a_{+}] &= (N+1) - N = 1.\end{aligned}\quad (5)$$

而Q形变的简谐振子代数的对易关系为<sup>[9]</sup>

$$\begin{aligned}[N, a_{Q^{\pm}}] &= \pm a_{Q^{\pm}}, \\ a_{Q^{+}} a_{Q^{-}} &= [N], \\ a_{Q^{-}} a_{Q^{+}} &= [N+1].\end{aligned}\quad (6)$$

其中 $a_{Q^{\pm}}$ 为Q形变后的产生和湮没算符,而记号

$$[x] = \frac{Q^x - 1}{Q - 1}, \quad Q \in [0, 1]. \quad (7)$$

容易验证(6)式可以通过变换

$$\begin{cases} a_{Q^{-}} = a_{-} \varphi(N), \\ a_{Q^{+}} = \varphi(N) a_{+}, \end{cases} \quad (8)$$

得到<sup>[9]</sup>,其中变换算符 $\varphi(N)$ 为

$$\varphi(N) = \sqrt{[N] / N}. \quad (9)$$

对非简谐振子,同样可以引入粒子数算符

$$N = \frac{H}{2} - R, \quad (10)$$

其中常数  $k = \frac{1}{2} \left( 1 + \sqrt{2A + \frac{1}{4}} \right)$ .

由公式(4)经过简单的推导可以得到

$$\begin{aligned}[N, b_{\pm}] &= \pm b_{\pm} , \\ [b_-, b_+] &= (N+1)(N+2k) - N(N+2k-1) .\end{aligned}\quad (11)$$

定义  $Q$  形变的非简谐振子代数的产生、湮没算符  $b_{Q^{\pm}}$  为

$$\begin{cases} b_{Q^-} = b_- \varphi(N) , \\ b_{Q^+} = \varphi(N) b_+ , \end{cases}\quad (12)$$

适当地选取变换算符

$$\varphi(N) = \sqrt{\frac{[N][N+2k-1]}{N(N+2k-1)}} , \quad (13)$$

得到

$$\begin{aligned}[N, b_{Q^{\pm}}] &= \pm b_{Q^{\pm}} , \\ [b_{Q^-}, b_{Q^+}] &= [N+1] [N+2k] - [N][N+2k-1] .\end{aligned}\quad (14)$$

上式给出了  $Q$  形变非简谐振子代数的基本公式。显然当变形参数  $Q \rightarrow 1$  时,  $[x] \rightarrow x$ , 即回到了无形变的情况。

### 3 $Q$ 形变的非简谐振子广义相干态

设  $|n\rangle$  为非简谐振子哈密顿算符  $H$  的第  $n$  个本征态,  $n = 0, 1, 2, \dots$ , 由公式(4)不难得

$$\begin{aligned}H|n\rangle &= 2(n+k)|n\rangle , \\ b_-|n\rangle &= \sqrt{n(n+2k-1)} |n\rangle , \\ b_+|n\rangle &= \sqrt{(n+1)(n+2k)} |n+1\rangle ,\end{aligned}$$

由(10)、(12)和(15)式可推出

$$\begin{aligned}N|n\rangle &= n|n\rangle , \\ b_{Q^-}|n\rangle &= \sqrt{[n][n+2k-1]} |n-1\rangle , \\ b_{Q^+}|n\rangle &= \sqrt{[n+1][n+2k]} |n+1\rangle .\end{aligned}\quad (16)$$

按文献 [10],  $Q$  形变的广义相干态  $|\beta\rangle$  可定义为湮没算符  $b_{Q^-}$  的本征态, 即

$$b_{Q^-}|\beta\rangle = \beta|\beta\rangle , \quad (17)$$

利用本征态集合  $\{|n\rangle|n=0, 1, 2, \dots\}$  的完备性, 可以把  $|\beta\rangle$  表示为

$$|\beta\rangle = \sum_{n=0}^{\infty} C_n |n\rangle$$

用湮没算符  $b_{\varrho^-}$  作用在上式两边, 再比较各个本征态  $|n\rangle$  的系数, 即得到一个关于  $C_n$  的递推公式

$$C_n = \frac{\beta}{\sqrt{[n][n+2k-1]}} C_{n-1} \quad ,$$

由此得到  $Q$  形变的广义相干态为

$$|\beta\rangle = C_0 \sum_{n=0}^{\infty} \frac{\beta^n}{\sqrt{[n]![2k]_n}} |n\rangle \quad , \quad (18)$$

式中  $[n]! = [n] \cdot [n-1] \cdots [2] \cdot [1]$  而

$$[x]_n = [x] \cdot [x+1] \cdots [x+n-1] \quad .$$

为方便, 引入形变的超几何函数

$$F_{\varrho}(x) = \sum_{n=0}^{\infty} \frac{x^n}{[n]![2k]_n} \quad , \quad (19)$$

令  $R = \frac{1}{1-Q}$ , 容易算出上式右边级数的收敛半径为  $R^2$ . 利用(19)式, 归一化系数  $C_0$  可

表示为  $C_0 = [F_{\varrho}(|\beta|^2)]^{-\frac{1}{2}}$ , 它给出了相干整参数  $\beta$  的取值范围为  $|\beta| < R$ .

应用(16)式可以得到表达式

$$|n\rangle = \frac{1}{\sqrt{[n]![2k]_n}} b_{\varrho^+}^n |0\rangle \quad ,$$

于是前面得到的  $Q$  形变非简谐振子广义相干态(简记为  $Q$ -NHCS)可以简洁地表示为

$$|\beta\rangle = C_0 F_{\varrho}(\beta b_{\varrho^+}) |0\rangle \quad . \quad (20)$$

当形变参数  $Q \rightarrow 1$  时, 得到与文献[8]中同样的结果, 即无形变的非简谐振子广义相干态.

## 4 $Q$ -NHCS的相交性和完备性

下面研究上节所得到的  $Q$ -NHCS 的基本性质. 由于湮没算符  $b_{\varrho^-}$  不是厄密算符, 两个不同本征值的  $Q$ -NHCS  $|\alpha\rangle$  和  $|\beta\rangle$  的内积为

$$\langle \alpha | \beta \rangle = \frac{F_{\varrho}(\bar{\alpha} \beta)}{\sqrt{F(|\alpha|^2) \cdot F_{\varrho}(|\beta|^2)}} \quad , \quad (21)$$

上式的右边在一般情况下不为零, 这表明  $Q$  形变后非简谐振子相干态仍然保持相交性.

为证明相干态集合  $\{|\beta\rangle \mid |\beta| \leq R\}$  具有完备性, 可采用密度算符方法<sup>[9]</sup>. 容易算出在相干态  $|\beta\rangle$  中, 粒子处于第  $n$  个能级的几率为

$$P_n(\beta) = |\langle n | \beta \rangle|^2 = \frac{|\beta|^{2n}}{[n]![2k]_n F_{\varrho}(|\beta|^2)} \quad , \quad (22)$$

定义密度算符(矩阵)  $P$  为

$$P = \sum_n P_n |n\rangle\langle n| , \quad (23)$$

其中  $P_n = \iint_D P_n(\beta) d^2\beta$ , 积分区域  $D$  为  $|\beta| < R$ . 则推广的完备性公式

$$\rho^{-1} \iint_D |\beta\rangle\langle\beta| d^2\beta = 1 \quad (24)$$

成立. 证明如下:

在  $\beta$  复平面中取极坐标  $\beta = re^{i\varphi}$ ,  $d^2\beta = r dr d\varphi$ , 则几率  $P_n$  可化简为

$$P_n = \frac{2\pi}{[n]![2k]_n} \int_0^R \frac{r^{2n+1} dr}{F_\varrho(r^2)} , \quad (25)$$

而(24)式的左边成为

$$\begin{aligned} \rho^{-1} \iint_D |\beta\rangle\langle\beta| d^2\beta &= \rho^{-1} \iint_D \sum_{n,m} \frac{\beta^n \bar{\beta}^m d^2\beta}{[n]! [2k]_n [m]! [2k]_m} |n\rangle\langle m| = \\ \rho^{-1} \sum_{n,m} \frac{|n\rangle\langle m|}{\sqrt{[n]! [2k]_n [m]! [2k]_m}} &\int_0^R \frac{r^{n+m+1} dr}{F_\varrho(r^2)} \int_0^{2\pi} e^{i(n-m)\varphi} d\varphi = \\ \rho^{-1} \sum_{n,m} \frac{|n\rangle\langle m|}{\sqrt{[n]! [2k]_n [m]! [2k]_m}} &\int_0^R \frac{r^{n+m+1} dr}{F_\varrho(r^2)} \cdot 2\pi \delta_{n,m} = \\ \rho^{-1} \sum_n \frac{2\pi |n\rangle\langle n|}{[n]! [2k]_n} &\int_0^R \frac{r^{2n+1} dr}{F_\varrho(r^2)} = \rho^{-1} \sum_n P_n |n\rangle\langle n| = \rho^{-1} \rho = 1 . \end{aligned} \quad (26)$$

在证明过程中用到了(25)式.

## 5 $Q$ -NHCS中的测不准关系及有关性质

为讨论在  $Q$ -NHCS 中的测不准关系, 定义两个较一般的变形算符, 即厄密算符  $Y$  和  $Z$ , 如下<sup>[6]</sup>:

$$\begin{aligned} Y &= rb_{\varrho^-} + \bar{r} b_{\varrho^+}^* , \\ Z &= sb_{\varrho^-} + \bar{s} b_{\varrho^+}^* , \end{aligned} \quad (27)$$

其中  $r$  和  $s$  为复参数,  $\bar{r}$ ,  $\bar{s}$  表示对应的共轭复数. 当  $r = 1, s = i$  时,  $Y$  和  $Z$  分别成为自然算符  $X$  和  $P$  的  $Q$  形变.

由(12)–(14)可以推出

$$b_{Q^-} b_{Q^+} - Q b_{Q^+} b_{Q^-} = [2N + 2k] , \quad (28a)$$

$$\text{即 } b_{Q^-} b_{Q^+} = Q b^+ b + [2N + 2k] , \quad (28b)$$

由此可得两个一般变形算符  $Y$  和  $Z$  的对易关系

$$[Y, Z] = (\bar{rs} - \bar{r}s)[b_{Q^-}, b_{Q^+}] = (\bar{rs} - \bar{r}s)T , \quad (29)$$

其中算符  $T$  定义为

$$T = [2N + 2k] - (1 - Q)b_{Q^+} b_{Q^-} . \quad (30)$$

由第 3 节中的结果不难算出在状态  $|\beta\rangle$  中, 一般变形算符  $Y, Z$  及其平方的平均值为

$$\begin{aligned} \langle Y \rangle_\beta &= r\beta + \bar{r}\bar{\beta} , \\ \langle Z \rangle_\beta &= s\beta + \bar{s}\bar{\beta} , \\ \langle Y^2 \rangle_\beta &= (r\beta + \bar{r}\bar{\beta})^2 + |r|^2 \langle T \rangle_\beta , \\ \langle Z^2 \rangle_\beta &= (s\beta + \bar{s}\bar{\beta})^2 + |s|^2 \langle T \rangle_\beta , \end{aligned} \quad (31)$$

相应的量子涨落为

$$\begin{aligned} (\Delta Y)^2 &= |r|^2 \langle T \rangle_\beta , \\ (\Delta Z)^2 &= |s|^2 \langle T \rangle_\beta . \end{aligned} \quad (32)$$

而对易子  $[Y, Z]$  的平均值为

$$\langle [Y, Z] \rangle_\beta = (\bar{rs} - \bar{r}s)\langle T \rangle_\beta = 2i\sin\theta |rs| \langle T \rangle_\beta , \quad (33)$$

上式中  $\theta$  为参数  $r$  与  $s$  的位相差. 由此得到

$$\begin{cases} (\Delta Y)(\Delta Z) > \frac{1}{2} |\langle [Y, Z] \rangle_\beta| , & \text{当 } \theta \approx \left(L + \frac{1}{2}\right)\pi \\ (\Delta Y)(\Delta Z) = \frac{1}{2} |\langle [Y, Z] \rangle_\beta| , & \text{当 } \theta = \left(L + \frac{1}{2}\right)\pi \end{cases} . \quad (34)$$

这表明, 无论  $\beta$  取什么值, 在  $Q$ -NHCS 中, 自然算符  $X$  和  $P$  的形变算符总是满足最小测不准关系.

由于量子涨落  $(\Delta Y)^2, (\Delta Z)^2$  和对易子平均值  $\langle [Y, Z] \rangle_\beta$  均与算符  $T$  的平均值  $\langle T \rangle_\beta$  成正比, 下面讨论  $\langle T \rangle_\beta$  与相干态参数  $\beta$  的关系. 由公式(30)可得

$$\langle T \rangle_\beta = \frac{1}{F_Q(|\beta|^2)} \sum_{n=0}^{\infty} \frac{[2n+2k]}{[n]![2k]_n} |\beta|^{2n} - (1 - Q)|\beta|^2 . \quad (35)$$

上式说明  $\langle T \rangle_\beta$  仅是  $|\beta|$  的函数, 与  $\beta$  的位相无关.

当  $|\beta| \rightarrow 0$  时, 容易得到

$$\langle T \rangle_\beta \rightarrow [2k] . \quad (36)$$

当  $|\beta| \rightarrow R$  时, (35) 式右边第一部分的分子和分母都发散, 但其比值存在. 由  $n$  充分大

时的各项决定. 由于  $n$  足够大时  $[2n + 2k] \sim \frac{1}{1 - Q}$ , 该部分分子和分母的比值的极限为

$\frac{1}{1 - Q}$ ; 而第二部分的极限为  $(1 - Q)R^2 = \frac{1}{1 - Q}$ . 因此得到

$$\langle T \rangle_{\beta} \rightarrow 0, \quad (37)$$

即在  $|\beta| \rightarrow R$  时, 一般形变算符  $X$  和  $Y$  的量子涨落及对易式平均值均趋于零. 这表明状态  $|\beta\rangle$  趋于理想经典态, 与无形变时  $\beta \rightarrow \infty$  相干态成为理想经典态的结果是一致的. 而后者可以看成前者在  $Q \rightarrow 1$  时的极限情况.

## 6 $Q$ -NHCS叠加态的非经典性质

文献 [11] 研究了 NHCS 的叠加态性质, 发现奇偶相干态是最显著的非经典状态. 下面考虑  $Q$ -NHCS 的叠加态性质. 为简单起见, 本文中仅讨论偶奇  $Q$ -NHCS, 即

$$|\beta\rangle_{e,o} = \frac{1}{2} (|\beta\rangle \pm |-\beta\rangle) = F_{e,o}(\beta b_{Q+}) |0\rangle, \quad (38)$$

其中

$$F_{e,o}(x) = \frac{1}{2} (F_Q(x) \pm F_Q(-x)). \quad (39)$$

为了方便, 未对 (38) 式进行归一化. 由前面的结果不难验证偶奇  $Q$ -NHCS 具有如下性质:

$$\begin{aligned} {}_e\langle \alpha | \beta \rangle_o &= 0, \quad {}_{e,o}\langle \beta | \beta \rangle_{e,o} = F_{e,o}(|\beta|^2), \\ b_{Q-} |\beta\rangle_{e,o} &= \beta |\beta\rangle_{o,e}, \quad b_{Q+}^2 |\beta\rangle_{e,o} = \beta^2 |\beta\rangle_{e,o}. \end{aligned} \quad (40)$$

利用 (29) 式, 即可得到形变的自然算符  $X_Q = b_{Q+} + b_{Q-}$  和  $P_Q = i(b_{Q+} - b_{Q-})$  的对易关系

$$[X_Q, P_Q] = iT, \quad (41)$$

由此不难求出偶奇  $Q$ -NHCS 中形变自然算符的量子涨落分别为

$$\begin{aligned} \langle \Delta X_Q^2 \rangle_{e,o} &= \langle T \rangle_{e,o} + 2\rho^2 \left[ \cos 2\varphi + \left( \frac{F_o}{F_e} \right)^{\pm 1} \right], \\ \langle \Delta P_Q^2 \rangle_{e,o} &= \langle T \rangle_{e,o} + 2\rho^2 \left[ -\cos 2\varphi + \left( \frac{F_o}{F_e} \right)^{\pm 1} \right]. \end{aligned} \quad (42)$$

式中  $\rho = |\beta|$ ,  $\varphi = \arg(\beta)$ ,  $F_{e,o} = F_{e,o}(\rho^2)$ . 由于  $|\cos 2\varphi|$  的最大值为 1, 故当  $F_o < F_e$  时偶的  $Q$ -NHCS 会出现压缩效应, 形变自然算符的最大相对压缩率为

$$\delta_e = 2\rho^2 \left( 1 - \frac{F_o}{F_e} \right) / \langle T \rangle_e, \quad (43)$$

而当  $F_o > F_e$  时, 奇的  $Q$ -NHCS 会出现压缩效应. 相应的最大相对压缩率为

$$\delta_o = 2\rho^2 \left( 1 - \frac{F_e}{F_o} \right) / \langle T \rangle_o. \quad (44)$$

由上节可知相干态参数 $\rho$ 的取值范围为 $[0, R]$ ,  $F_o = F_e$ 的零点将此范围分成若干个压缩子区间, 随着 $\rho$ 的增加偶奇 $Q$ -NHCS交替地出现压缩效应.

由于 $\langle T \rangle$ 随着 $\rho$ 的增大以相当于指数的方式增大, 因此压缩效应最强的主压缩区间应该在第一个子区间, 在此区间中只有偶的 $Q$ -NHCS存在压缩效应. 数值计算表明, 在此情况下相对压缩率随着形变程度的增加而增加. 这是一个非常有意义的结果

图 1, 2 给出了当 $k$ 取 1 和 2 时主压缩区间中相对压缩率 $\delta$ 与相干态参数 $\rho$ 和形变参数 $Q$ 的关系.

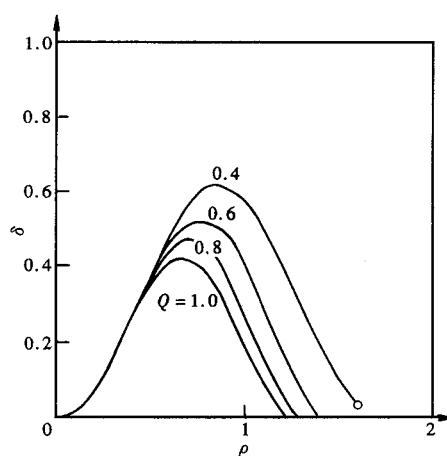


图1  $k=1$ 情况

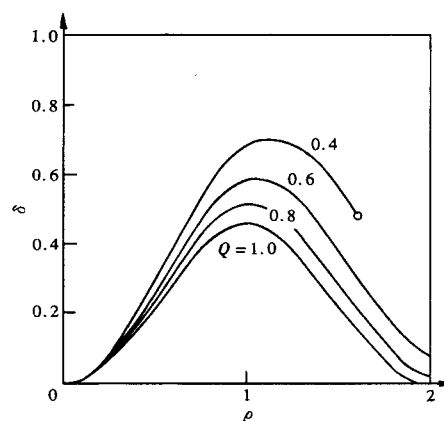


图2  $k=2$ 情况

## 7 结论

从非简谐振子的谱生成代数出发, 利用变形变换得到了 $Q$ 形变的非简谐振子代数, 从而进一步构造出了 $Q$ 形变的非简谐振子广义相干态. 证明了该相干态集合具有相交性和完备性, 并且发现相干态参数 $\beta$ 的模 $|\beta|$ 的取值有个上限 $R = \frac{1}{1-Q}$ . 当 $|\beta| \rightarrow R$ 时, 该 $Q$ 形变广义相干态成为理想经典状态. 当形变参数 $Q$ 趋于 1 时, 文中所得到的结果与文献[8]中的非形变情况一致. 而叠加的 $Q$ 形变广义相干态, 在主压缩区间中偶相干态的相对压缩率随着形变程度的增大而变大.

## 参 考 文 献

- 1 Pocek M. Phys. Lett., 1991, **B255**:554
- 2 Delbecq C, Quesne C. J. Phys., 1993, **A26**:L127
- 3 Biedenharn L C. J. Phys., 1989, **A22**:L872
- 4 Chang Zhe, Chen Wei, Guo Hanying. J. Phys., 1990, **A23**:4185
- 5 Chang Zhe, Chen Wei, Yan Hong. J. Phys., 1990, **A23**:4235
- 6 Codriansky S. Phys. Lett., 1994, **A184**:381
- 7 Zhu Dongpei. J. Phys., 1987, **A20**:4331

- 
- 8 Xu Ziwen. ACTA PHYSICA SINICA (in Chinese), 1996, **45**:1807  
 (徐子文. 物理学报, 1996, **45**:1807)
- 9 Hao Sanru. ACTA PHYSICA SINICA (in Chinese), 1993, **42**:1057  
 (郝三如. 物理学报, 1993, **42**:1057)
- 10 Barut A O, Girardillo L. Commun. Math. Phys., 1971, **21**:41
- 11 Ni Zhixiang. ACTA PHYSICA SINICA (in Chinese), 1997, **47**:1687  
 (倪致祥. 物理学报, 1997, **47**:1687)

## ***Q*-Deformation of Generalized Coherent States in the Non-harmonic Oscillator Potential\***

Xu Ziwen

(Department of Basic Sciences, Beijing Institute of Machinery, Beijing 100085)

**Abstract** By using the transforming operators, the *Q*-deformation of the nonharmonic oscillator algebra is obtained. Based on the algebra, the *Q*-deformation of generalized coherent states are introduced. It is found that these states have the overcompleteness and they are the minimal uncertainty states for the *Q*-deformed natural operators, and the relative rate of squeezing of the *Q*-deformation of generalized even coherent state increases with the degree of deformation in the principal squeezing region.

**Key words** non-harmonic oscillator, *Q*-deformation, generalized coherent state

---

Received 20 April 1998

\* Supported by the Natural Science Fundation of Beijing Institute of Machinery